

# 有機金属錯体を出発原料とする超塑性セラミックス合成条件の探索

室蘭工業大学 工学部 材料物性工学科

助教授 佐々木眞

(平成8年度研究開発助成 AF-96013)

キーワード：結晶粒微細化，SiBCN セラミックス

## 1 研究の目的と背景

Si-CおよびSi-N結合を含有するポリマーを合成し、それの化合物を焼成することによって、SiCやSi<sub>3</sub>N<sub>4</sub>をつくる方法に代表されるように有機高分子前駆体からセラミックスを作製する方法は、セラミックスを任意の形に成型することができ、さらに繊維や膜などを容易に作ることができるので利点がある。また有機高分子前駆体段階において構造を制御することにより、セラミックスの特性を自在に変えることができるという従来のセラミックス作製方法にはない特長も有している。そのためこれらの作製プロセスを広く工業的に用いることが期待される。非晶質セラミックスの結晶化挙動はRiedelら<sup>1)</sup>によって、また非晶質セラミックスSi-N-Cの高温における構造変化に関して天野ら<sup>2)</sup>によって報告されている。またボロンを含むセラミックスに関しては、ボラジン(B-N-C-H)をベースとしたセラミックス合成がAllcockら<sup>3)</sup>によって、シラザンにボロンを添加したポリボロシラザン(Si-N-C-B-H)をベースとしたセラミックス合成がBaldusら<sup>4)</sup>によって研究されている。しかしながら現段階の研究状況では、これら有機高分子の合成法および得られたセラミックスの微細化機構に関して不明な点が数多くある。よって本報では、超塑性セラミックス合成を念頭に置いて、SiC-BNセラミックスの合成と微細化機構を解明したので、ここに報告する。

## 2 研究方法

異なる方法により合成された3種類のポリマーからそれぞれセラミックスを作製した。本実験のフローチャートをFig.1に示す。

### ポリマー合成

#### (a) ポリマーA

ポリシラザンを673Kで4時間、アルゴン雰囲気下で架橋させ架橋高分子Si-C-N-Hを作製した。

#### (b) ポリマーB

ジクロロメチルビニルシランとボランジメチルサルファイドをトルエン中で278K、3時間アルゴン雰囲気下で反応させモノマーを作製した。このモノマーをテトラヒドロフラン溶液中258K、9時間アンモニアと反応させたあと473K、5時間アルゴン雰囲気下で架橋させ架橋高分子Si-B-C-N-Hを作製した。

#### (c) ポリマーC

ポリシラザンとトリジメチルアミノボランをトルエン中で383K、2時間アルゴン雰囲気下で反応させた後、673K、4時間アルゴン雰囲気下で架橋させ架橋高分子Si-B-C-N-Hを作製した。

以上の3種類のポリマーを成型(粒径120μm以下、圧力625MPa、加圧時間60sec)した後、1323K、4時間アルゴン雰囲気下で熱分解しポリマーAからセラミックスA、ポリマーBからセラミックスB、ポリマーCからセラミックスCの非晶質セラミックスを作製した。さらにこれら非晶質セラミックスをそれぞれ1873K、50時間窒素雰囲気下/2073K、50時間窒素雰囲気下/2373K、0.5時間窒素雰囲気下で熱処理し結晶性セラミックスを作製した。得られたセラミックスについてX線回折を行った。

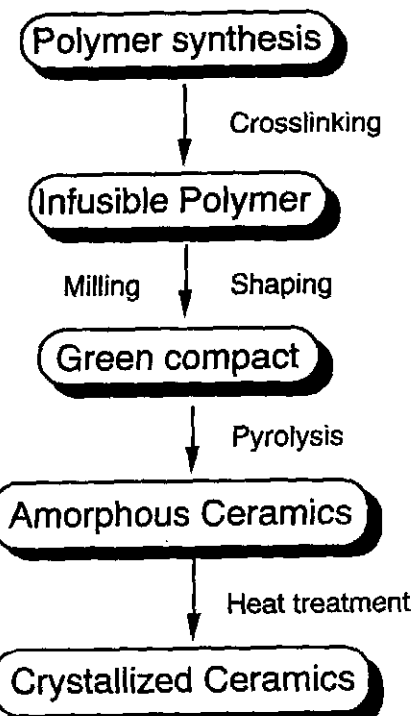


Fig. 1. Experimental flow chart.

### 3 研究成果および考察

Table 1 に得られた非晶質セラミックスの組成を示す。セラミックスBとセラミックスCにはボロンが含まれている。またセラミックスBはセラミックスAやセラミックスCと比較して炭素量が多く、ケイ素、窒素量が少ないといった特徴がある。

Table 1 Composition of Ceramics (wt%).

	Si	B	C	N	O
Ceramics A	57.7	—	13.5	25.3	1.3
Ceramics B	41.1	5.5	37.6	11.8	5.0
Ceramics C	54.1	1.6	14.9	26.1	1.0

Fig. 2 に 1873 K, 50 時間窒素雰囲気下で熱処理をしたセラミックスのX線回折結果を示す。3種類すべてのセラミックスに $\beta$ -SiCが生成している。ボロンを含んでいるセラミックスBとセラミックスCに関しては $\beta$ -SiCの他に $\text{Si}_3\text{N}_4$ が生成している。またボロン量の増加に伴い強度が低下し、さらに結晶化にくくなっている。

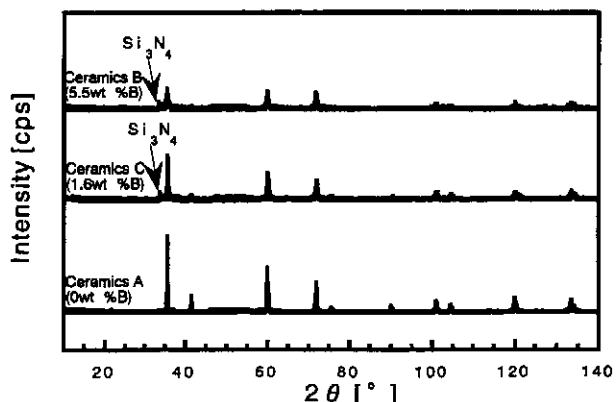


Fig. 2 X-ray diffraction patterns of Ceramics heated at 1873K in  $\text{N}_2$  for 50h.

Fig. 3 に 2373 K, 0.5 時間窒素雰囲気下で熱処理をしたセラミックスのX線回折結果を示す。1873 や 2073 Kでの熱処理時間が 50 h であるが、2373 Kでの熱処理は、短時間であるのにも関わらず容易に結晶化した。またセラミックスAとセラミックスCにおいて $\beta$ -SiCの他に遊離のSiが生成した。

Figs. 4, 5 にセラミックスBとセラミックスCの温度別のX線回折結果を示す。Fig. 4 よりどの温度域においても $\beta$ -SiCの他に $\text{Si}_3\text{N}_4$ が生成している。このセラミックスBに関してはボロン含有量が多く、そのボロンの影響によって高温になっても $\text{Si}_3\text{N}_4$ が熱分解されなくセラミックスAやセラミックスCのように遊離のSiが生成しなかったと推測される。またFig. 5においては高温になるほど $\beta$ -SiCの他にSiが生成している。このセラミックスCにはセラミックスBと同様にボロンを含んでいるが、Siの含有量が多いため2373 Kという高温になる

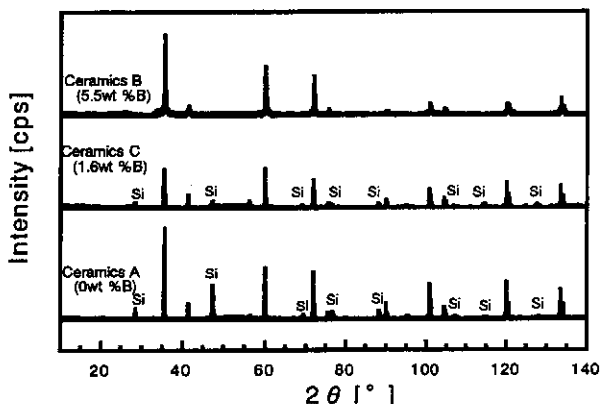


Fig. 3 X-ray diffraction patterns of Ceramics heated at 2373K in  $\text{N}_2$  for 0.5h.

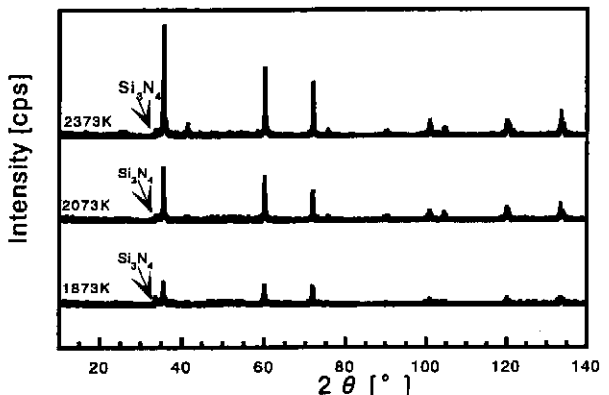


Fig. 4 X-ray diffraction patterns of Ceramics B at various crystallization temperature.

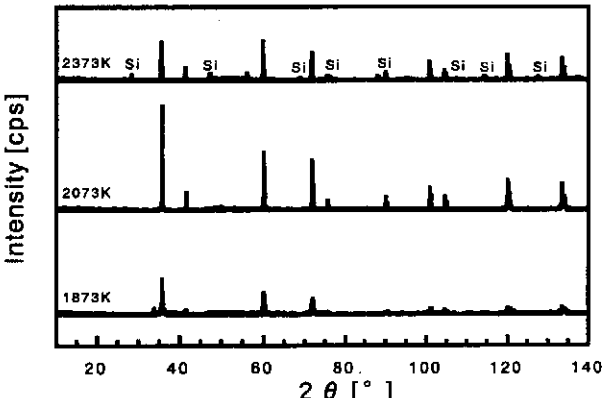


Fig. 5 X-ray diffraction patterns of Ceramics C at various crystallization temperatures.

と $\text{Si}_3\text{N}_4$ が熱分解され、遊離のSiが生成したためと思われる。セラミックスAはセラミックスCと同様に高温になるとSiが生成した。

Table 2 に高分子および得られたセラミックスの収率を示す。1323 K, 4 時間アルゴン雰囲気下で熱分解後のセラミック収率は 60 % ~ 80 % という非常に高い値であった。また 1673 K, 50 時間窒素雰囲気下で熱処理したセラミックスと 1873 K, 50 時間窒素雰囲気下で熱処理したセラミックスの収率を比較すると後者が低い値を示した。これはこの温度域でセラミックスの組成にかかわらず、なんらかの構造変化があったと思われる。

Table 2 Yields of Polymer and Ceramics (wt%).

	Ar		N <sub>2</sub>		
	架橋反応	1323K	1673K	1873K	2073K
Polymer A	90	80	95.3	63.5	64.1
Polymer B	89	77	94.5	66.2	67.7
Polymer C	85	60	94.7	57.1	57.6

Fig. 6 にセラミックスのボロン含有量と  $\beta$ -SiC 結晶子の大きさの関係を示す。これは 1873 K, 50 時間窒素雰囲気下で熱処理したセラミックスの X 線回折結果から  $\beta$ -SiC の半価幅によって求めたものである。結晶子の大きさは次式で定義される。

$$t = 0.9 \lambda / B \cos \theta$$

t は結晶子の大きさ, B は半価幅である。 $\lambda = 1.541$ . $\text{\AA}$  は  $\beta$ -SiC の (111) 面である  $2\theta = 35.75^\circ$  を用いた。

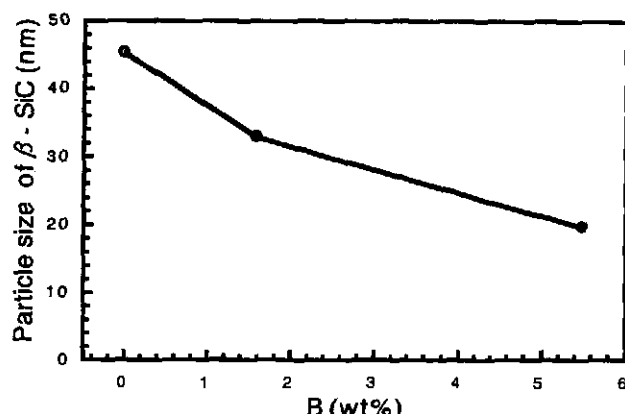


Fig. 6 Relationship between particle size of  $\beta$ -SiC and B content.

この結果からボロン量が増加すると結晶子の大きさが小さくなっていることがわかる。セラミックス中のボロンはボロンと窒素の結合解離エネルギーが高いためボロニナイトライドとして存在していると考えられる。このボロニナイトライドが  $\beta$ -SiC の結晶成長を阻害していると推測される。

B の添加によって SiC と  $\text{Si}_3\text{N}_4$  の粒成長が抑制された原因を、STEM/EELS 分析を用いて調べた。試料は B 量が多い方の Ceramics 2 を 2073 K で 2 時間、アルゴン気流中で 2 次焼結したもので、X 線回折では  $\beta$ -SiC とプロードな h-BN の回折が現れている。

一般的にセラミックスは、その結晶粒界に高温でも反応性が低い異物質があると、結晶粒子の成長が抑えられることが知られている。そこで、SiC の結晶粒界の化学結合状態などを EELS で調べた。分析の際には粉体試料を用い、電子線を  $2.0 \times 2.0 \text{ nm}$  に絞って微小部分析を行つ

た。Fig. 7 に STEM の明視野像と EELS 分析の結果を示す。EELS 分析は B-K 帯についてのスペクトルで、STEM 像に○印で書かれた a, b, c の各領域について分析を行っている。各領域の EELS スペクトルを標準試料 h-BN と比較すると、いずれも h-BN と酷似したスペクトルとなっていることがわかる。従って SiC の結晶粒界には h-BN が存在していることが示唆されている。

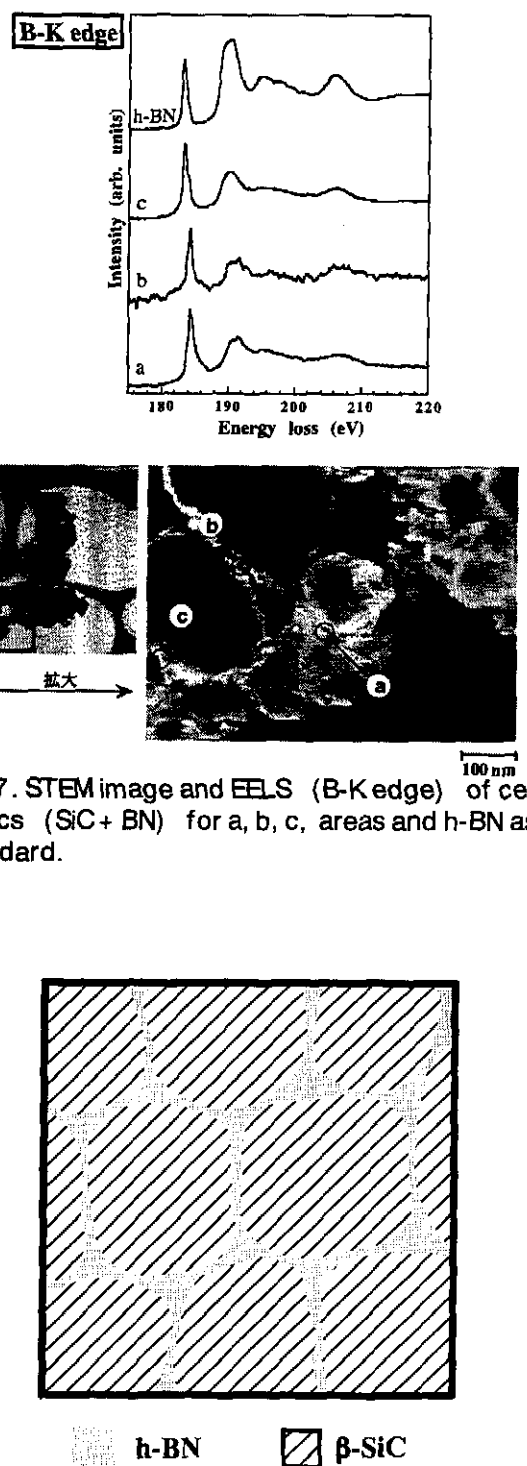


Fig. 7. STEM image and EELS (B-K edge) of ceramics (SiC+BN) for a, b, c, areas and h-BN as standard.

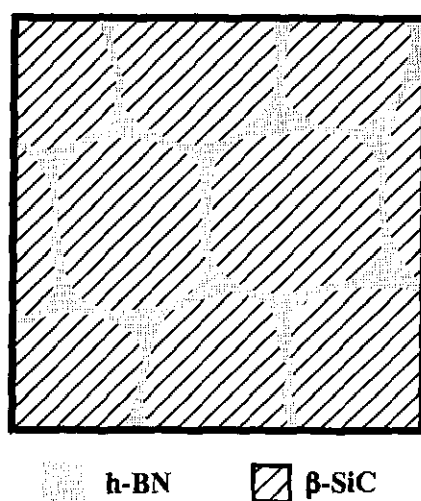


Fig. 8 Model of ceramics (SiC+BN) obtained from Ceramics B at 2073 K for 2 h in 1000 SCFM flowing Ar.

つづいてX線回折で $\beta$ -Si<sub>3</sub>N<sub>4</sub>と $\alpha$ -SiCの生成を確認した試料の結果に移る。この試料は、SiCおよびSi<sub>3</sub>N<sub>4</sub>が存在しており、粒界にはh-BNが偏析していると言うことができるだろう。

Fig. 8にはSiCとBNが生成した試料について、Fig. 9にはSi<sub>3</sub>N<sub>4</sub>とSiCが生成した試料についての、EELSの結果から考えられるモデル図を示す。B添加によりSiCの結晶粒界にBNが存在することにより、SiCの結晶成長が抑制され、SiCが微細化したことが本研究の結果裏付けられた。

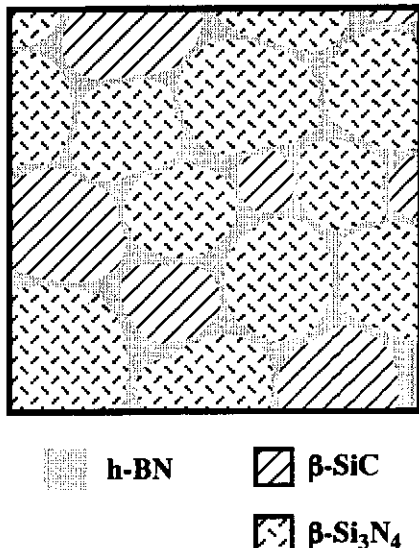


Fig. 9 Model of ceramics ( $\text{Si}_3\text{N}_4$  + SiC + BN) obtained from Ceramics C at 1973 K for 10 h in 1000 SCCM flowing  $\text{N}_2$ .

以上の結果からボロンはセラミックスの結晶化挙動に大きな影響を及ぼしていると思われる。一般に金属ボロンを混合して熱処理をすると、SiCなどの焼結状態が良くなることが知られている。ボロンを有機高分子前駆体に添加し構造を制御することによって、結晶化速度および結晶子の大きさをコントロールすることができる可能性が示された。

#### 4 結論

有機高分子を合成しそれを焼成することによって得られたセラミックスの特性を調べた結果、以下のような結論を得た。

- (1) 有機高分子Si-C-N-HおよびSi-B-C-N-Hの合成法を確立した。
- (2) 非晶質セラミックスSi-C-NおよびSi-B-C-N

が収率60～80%で合成された。

(3) 得られた非晶質セラミックスを熱処理すると主に $\beta$ -SiCが生成した。ボロン量の多いセラミックスは結晶化しにくく結晶粒が小さくなり、 $\beta$ -SiCと同時にSi<sub>3</sub>N<sub>4</sub>を生成した。さらにSi量の多いセラミックスは2373Kの高温になると遊離のSiを生成した。

(4) 非晶質セラミックスの結晶化挙動は、アルゴン雰囲気では窒素の離脱に伴ってSiCが生成した。Bを含む試料は結晶化開始温度が高くなり、生成するSiCの結晶粒子サイズはB量の多い試料ほど小さいことがわかった。その結晶粒子サイズは150nm以下の微細なナノサイズセラミックスであった。窒素雰囲気ではSi<sub>3</sub>N<sub>4</sub>とSiCが生成し、アルゴン雰囲気で生成したSiCと同様に、B量の多い試料ほど生成するSi<sub>3</sub>N<sub>4</sub>の結晶粒子サイズが小さいことがわかった。

(5) Bの添加によって生成するSiCとSi<sub>3</sub>N<sub>4</sub>がの結晶粒子サイズが小さくなった理由は、Bを含む試料はBを含まないものに比べ、(1)結晶化しにくい(結晶化する温度が高い、もしくは長時間の熱処理を要する)、(2)SiCおよびSi<sub>3</sub>N<sub>4</sub>の粒界にh-BNが偏析している、ことなどからSiCおよびSi<sub>3</sub>N<sub>4</sub>の結晶成長をh-BNが抑制しているためであると言えるだろう。

(6) Ceramics Bを1873Kで2時間、アルゴン気流中で2次焼結した試料は、X線的に非晶質であるが、そのクラスターサイズは約189nmであった。この値は1973Kで生成したSiCの結晶粒子サイズ(93.1nm)よりも大きな値である。この結果からアルゴン雰囲気における結晶化のプロセスは、窒素の離脱に伴ってある程度の大きさを持ったクラスター内で再配列が起こり、SiCが生成しh-BNはその粒界に偏析するためと考えられる。

#### 謝辞

本研究の一部は、天田金属加工機械技術振興事業団研究助成により遂行されたことを付記し、改めて貴財団に深く感謝いたします。

#### 参考文献

- 1) R.Riedel and M.Seher : J. Euro. Ceram. Soc., 7 (1991) 21.
- 2) 天野忠昭, 伊崎寛正: 日本セラミックス協会学術論文誌, 97 (1989) 339.
- 3) H.R.Allcock, M.F.Welker and M.Parvez : Chem. Master., 4 (1992) , 296 - 307.
- 4) H.P.Baldus, G.Passing, D.Sporn and A.Thierer : Ceramic Transactions, 58 (1995) , pp.75 - 84.